

การวิเคราะห์หาค่าตัวคูณสำหรับน้ำหนักบรรทุกในงานอาคารคอนกรีตเสริมเหล็ก
ตามสภาพการก่อสร้างในเขตกรุงเทพมหานคร

นายสุชาติ ชัยชันต์



วิทยานิพนธ์นี้ เป็นส่วนหนึ่งของการศึกษาตามหลักสูตรปริญญาวิศวกรรมศาสตรมหาบัณฑิต

ภาควิชาวิศวกรรมโยธา

บัณฑิตวิทยาลัย จุฬาลงกรณ์มหาวิทยาลัย

พ.ศ. 2531

ISBN 974-569-375-8

ลิขสิทธิ์ของบัณฑิตวิทยาลัย จุฬาลงกรณ์มหาวิทยาลัย

014370

๑๗๘๘๖๒๐

LOAD FACTOR ANALYSIS FOR REINFORCED CONCRETE BUILDINGS
AS CONSTRUCTED IN BANGKOK METROPOLITAN AREA

Mr. Suchart Chayochaichana

A Thesis Submitted in Partial Fulfillment of the Requirements
for the Degree of Master of Engineering
Department of Civil Engineering
Graduate School
Chulalongkorn University

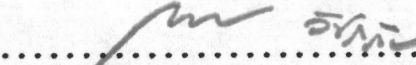
1988

ISBN 974-569-375-8

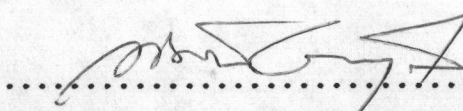
หัวข้อวิทยานิพนธ์ การวิเคราะห์หาค่าตัวคูณสำหรับน้ำหนักบรรทุกในงานอาคารコンกรีต
เสริมเหล็กตามสภาพการก่อสร้างในเขตกรุงเทพมหานคร

โดย นาย สุชาติ ยะโยยชั่น
ภาควิชา วิศวกรรมโยธา
อาจารย์ที่ปรึกษา ศาสตราจารย์ ดร. เอกลักษณ์ ล้มสุวรรณ

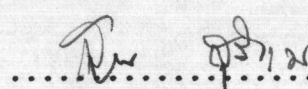
บัณฑิตวิทยาลัย จุฬาลงกรณ์มหาวิทยาลัย อนุมัติให้ผู้บันทึกบันทึกนี้เป็นส่วนหนึ่ง
ของการศึกษาตามหลักสูตรปริญญามหาบัณฑิต

.......... คณบดี บัณฑิตวิทยาลัย
(ศาสตราจารย์ ดร. ภราวดร วัชรากิจ)

คณะกรรมการสอบวิทยานิพนธ์

.......... ประธานกรรมการ
(ศาสตราจารย์ ดร. ทักษิณ เทพชาตรี)

.......... อาจารย์ที่ปรึกษา
(ศาสตราจารย์ ดร. เอกลักษณ์ ล้มสุวรรณ)

.......... กรรมการ
(รองศาสตราจารย์ ดร. สุธรรม สุริยะมงคล)

.......... กรรมการ
(ผู้ช่วยศาสตราจารย์ ดร. เริงเดชา รัชตโนทัย)



สุชาติ ชะโยชัยชนะ : การวิเคราะห์ค่าตัวคูณสำหรับน้ำหนักบรรทุกในงานอาคารคอนกรีต
เสริมเหล็กตามสภาพการก่อสร้างในเขตกรุงเทพมหานคร (LOAD FACTOR ANALYSIS FOR
REINFORCED CONCRETE BUILDINGS AS CONSTRUCTED IN BANGKOK METROPOLITAN
AREA) อ.ทปรึกษา : ศ.ดร. เอกสิทธิ์ ลี้มสุวรรณ, 144 หน้า.

การออกแบบองค์อาคารคอนกรีต เสริม เหล็กตามทฤษฎีกำลังประจำลัย เป็นวิธีการออกแบบโดยเน้น พฤติกรรมของโครงสร้างที่ภาวะสุดชีด การออกแบบด้วยวิธีนี้มีความจำเป็นที่จะต้องใช้ค่าตัวคูณสำหรับน้ำหนักบรรทุกให้สอดคล้องกับสภาพการก่อสร้างและภาวะการใช้งานของอาคาร โดยยังมีความปลอดภัย เช่นเดิม การศึกษาในวิทยานิพนธ์นี้ได้สำรวจข้อมูลเกี่ยวกับน้ำหนักบรรทุกบนอาคาร แยกตามประเภทการใช้งาน เช่น อาคารสำนักงาน อาคารสถานีขนส่ง อาคารมหาวิทยาลัย และอาคารที่จอดรถของห้างสรรพสินค้า ข้อมูลที่สำรวจประกอบด้วย ส่วนที่เกี่ยวกับน้ำหนักบรรทุกคงที่ และน้ำหนักบรรทุกจราจรตามสภาพที่เกิดขึ้นจริง จากนั้นได้ทำการวิเคราะห์น้ำหนักบรรทุกจราจรตามแบบจำลองของ Peir และ Cornell โดยอิงการนำเสนอด้วยมาตรฐานสำนักงานสถาปัตย์อเมริกา (ANSI A58.1-1982) ซึ่งประกอบไปด้วย น้ำหนักบรรทุกจราจร และน้ำหนักบรรทุกจราจรเพิ่มขึ้น

จากการวิเคราะห์น้ำหนักบรรทุกจราจรตามลักษณะการใช้งานของอาคารประเภทต่าง ๆ พบว่า อาคารประเภทสำนักงานในเขตกรุงเทพมหานคร มีค่าสูงกว่าค่าที่กำหนด เพื่อใช้ในการออกแบบตามข้อบัญญัติ กรุงเทพมหานคร ในขณะที่อาคารที่จอดรถของห้างสรรพสินค้า ให้ค่าน้ำหนักบรรทุกจราจรในลักษณะที่ตรงกัน ข้าม ส่วนอาคารมหาวิทยาลัย และอาคารสถานีขนส่ง มีความเหมาะสมสอดคล้องตามที่กำหนด เพื่อให้ใช้ในการออกแบบ

ค่าตัวคูณสำหรับน้ำหนักบรรทุก โดยอิงค่าความปลอดภัยตามมาตรฐานสากล จะขึ้นอยู่กับค่าตัวคูณลดกำลังรับแรงขององค์อาคารในเขตกรุงเทพมหานคร ตามผลการวิจัยของนายอ้วนร์ อมادยกุล และสภาพการใช้งานของอาคารประเภทต่าง ๆ วิธีการคำนวณได้พิจารณาตามทฤษฎีความน่า เชื่อถือทางโครงสร้างตามวิธีการประมาณอันดับที่หนึ่ง จะให้ค่าตัวคูณสำหรับน้ำหนักบรรทุกคงที่มีค่า 1.2 และสำหรับน้ำหนักบรรทุกจราจรมีค่า 1.6 เปรียบเทียบกับค่าเฉลี่ย แต่ถ้าพิจารณาตามวิธีใน เมนต์ที่สอง โดยให้ค่าความปลอดภัยใกล้เคียงกับ ACI อาจใช้ค่า 1.5 และ 2.0 สำหรับน้ำหนักบรรทุกคงที่และน้ำหนักบรรทุกจราจรตามลำดับ แต่จะให้ค่าความปลอดภัยต่ำกว่าของมาตรฐาน วสท. (EIT-1001-16) เล็กน้อย

ภาควิชา วิศวกรรมโยธา
สาขาวิชา วิศวกรรมโยธา
ปีการศึกษา 2530

ลายมือชื่อนิสิต ๗๗๓ ๘๘๖๖
ลายมือชื่ออาจารย์ที่ปรึกษา *ท.ศ.*

SUCHART CHAYOCHAICHANA : LOAD FACTOR ANALYSIS FOR REINFORCED CONCRETE BUILDINGS AS CONSTRUCTED IN BANGKOK METROPOLITAN AREA. THESIS
ADVISOR : PROF.EKASIT LIMSUWAN, Ph.D. 144 pp.

Ultimate strength design for reinforced concrete structures emphasizes structural behavior at the ultimate limit state. Load factors correlate to the construction condition and functions of the building are required in the design process and they must achieve an acceptable safety level. In this research, various data concerning dead load and live load were collected for several buildings categorised by their functions such as offices, bus terminals, colleges or universities and car parks in department stores. Total live loads which consist of the sustained live loads and the transient live loads were analysed on the basis of the live load model recommended by Peir and Cornell, which is the same method used by the American National Standard Institute (ANSI A58.1-1982)

The results indicate that the live load for office buildings in Bangkok area is higher than that specified by the Building Code. On the other hand, the live load for car parks has shown a smaller value than the specified one. On the other hand, the live load for bus terminals and colleges or universities show good agreement with the code and the ANSI Standards.

The load factors calculated on the basis of the generally accepted safety index with the capacity reduction factor as recommended by Amattayakul using structural reliability theory of first order approximation were found to be 1.2 for dead load and 1.6 for live load. The load factors calculated by second-moment theory to give a safety index at the same level as in the ACI Code may be taken as 1.5 for dead load and 2.0 for live load respectively. The resulting safety index is slightly less conservative than the value that would have resulted from using the EIT Standard (EIT-1001-16).

ภาควิชา วิศวกรรมโยธา
สาขาวิชา วิศวกรรมโยธา
ปีการศึกษา 2530

ลายมือชื่อนิสิต พญานิล พูลบูรณ์
ลายมือชื่ออาจารย์ที่ปรึกษา ส. ๗

กิตติกรรมประกาศ

ขอทราบขอนพระคุณท่านอาจารย์ที่ปรึกษาวิทยานิพนธ์ ศาสตราจารย์ ดร. เอกลักษณ์ ล้มสุวรรณ ที่กำกับให้ความดูแลเอาใจใส่ ตลอดจนให้คำแนะนำปรึกษาเพื่อแก้ปัญหาต่าง ๆ ให้ลุล่วงไปด้วยดีตลอดมา ขอทราบขอนพระคุณท่านคณะกรรมการสอบวิทยานิพนธ์ทุกท่านอันประกอบด้วย ศ. ดร. กักชิน เพพชาตรี รศ. ดร. สุธรรม สุริยะมงคล และ พศ. ดร. เริงเดชา รัชต์โพธิ์ ผลงานวิจัยนี้จะไม่สามารถสำเร็จลงได้ ถ้าขาดความช่วยเหลือจากหน่วยงานและบริษัทต่าง ๆ ที่ได้ออนุญาตและให้ความสละเวลาในการเก็บข้อมูล ตลอดจนเพื่อน ๆ และพี่ที่ให้คำปรึกษาและแนะนำผู้เขียนจึงขอขอบพระคุณมา ณ ที่นี้ด้วย

ท้ายนี้เขียนข้อทราบขอนพระคุณ คุณพ่อและคุณแม่ที่ให้ความช่วยเหลือในทุก ๆ ด้าน

สารบัญ

หน้า

บทคัดย่อภาษาไทย	๔
บทคัดย่อภาษาอังกฤษ	๕
กิตติกรรมประกาศ	๖
สารบัญภาพ	๗
สารบัญตาราง	๘
ลักษณะของน้ํา	๙
บทที่	
1. บทนำ	1
1.1 ความนำ.....	1
1.2 ความเป็นมาและความสำคัญของปัจจุบัน.....	1
1.3 วัตถุประสงค์และขอบเขตการวิจัย.....	3
1.4 การดำเนินการ.....	4
1.5 ประโยชน์ที่จะได้จากการทำวิจัย.....	4
2. น้ำหนักบรรทุก	
2.1 น้ำหนักบรรทุกคงที่.....	5
2.2 น้ำหนักบรรทุกจร.....	6
2.3 แบบจำลองน้ำหนักบรรทุกจราจร.....	7
2.4 แบบจำลองน้ำหนักบรรทุกจราจรเพิ่มขึ้นลดลง.....	11
2.5 ผลกระทบสุดของน้ำหนักบรรทุกจราจร.....	12

3. ทฤษฎีใช้วิเคราะห์

3.1 ทฤษฎีทางสังคมิติศาสตร์.....	16
3.2 ทฤษฎีความน่าจะเป็น.....	17
3.2.1 ตัวแปรสุ่ม.....	17
3.2.1.1 ตัวแปรสุ่มตัวเดียว.....	17
3.2.1.2 ตัวแปรสุ่มตั้งแต่ 2 ตัวขึ้นไป.....	21
3.2.2 ฟังก์ชันของตัวแปรสุ่ม.....	24
3.3 ทฤษฎีความน่าเชื่อถือทางโครงสร้าง.....	27
3.3.1 วิธีโนเมนต์ที่ 2.....	29
3.3.2 วิธีการประมาณอันดับที่ 1.....	33
3.3.3 ความไม่แน่นอนต่างๆ.....	35
3.3.3.1 ความไม่แน่นอนเนื่องจากข้อมูล.....	35
3.3.3.2 ความไม่แน่นอนเนื่องจากการทำนาย.....	35
3.3.4 การวิเคราะห์ค่าความไม่แน่นอน.....	36

4. วิธีการวิเคราะห์

4.1 การวิเคราะห์เพื่อหาค่าน้ำหนักบรรทุกคงที่.....	38
4.2 การวิเคราะห์เพื่อหาค่าน้ำหนักบรรทุกภาระ.....	40
4.2.1 วิเคราะห์หาค่าน้ำหนักบรรทุกภาระทราบแล้วที่มีค่ามากที่สุด ตลอดอายุการใช้งานของอาคาร.....	40
4.2.2 วิเคราะห์หาค่าน้ำหนักบรรทุกภาระเพิ่มช่วงขณะเฉลี่ยที่ได้มากที่สุด ตลอดอายุการใช้งานของอาคารและภาย ในช่วงที่น้ำหนัก บรรทุกภาระทราบแล้วมีค่ามากที่สุด.....	41
4.2.3 วิเคราะห์หาค่าน้ำหนักบรรทุกภาระรวมที่เกิดขึ้น.....	42
4.3 วิเคราะห์หาลักษณะการกระจายของค่าน้ำหนักบรรทุก.....	42
4.3.1 น้ำหนักบรรทุกคงที่.....	42

หน้า

4.3.2 น้ำหนักบรรทุกจาร.....	43
4.4 การวิเคราะห์เพื่อหาค่าตัวคูณสำหรับน้ำหนักบรรทุกของอาคารโดยกำหนดค่าความปลอดภัยตามมาตรฐานสากล.....	43
4.5 การวิเคราะห์เพื่อหาค่าความปลอดภัย โดยใช้ค่าตัวคูณสำหรับน้ำหนักบรรทุกของอาคารตามมาตรฐานที่กำหนดโดยวิศวกรรมสถานแห่งประเทศไทย.....	44
5. การวิเคราะห์ผล	
5.1 วิเคราะห์หาค่าน้ำหนักบรรทุกคงที่ที่คำนวณได้.....	45
5.2 วิเคราะห์หาค่าน้ำหนักบรรทุกจารที่คำนวณได้.....	46
5.2.1 วิเคราะห์หาค่าน้ำหนักบรรทุกจารถาวรเฉลี่ย.....	47
5.2.2 วิเคราะห์หาค่าน้ำหนักบรรทุกจารเพิ่มชั่วขณะเฉลี่ย.....	47
5.2.3 วิเคราะห์หาค่าน้ำหนักบรรทุกจารรวมที่เกิดขึ้น.....	47
5.3 วิเคราะห์ลักษณะการกระจายของน้ำหนักบรรทุก.....	48
5.4 วิเคราะห์ค่าตัวคูณสำหรับน้ำหนักบรรทุก.....	48
5.4.1 วิธีการประมาณอันดับที่หนึ่ง.....	48
5.4.2 วิธีโมเมนต์ที่สอง.....	49
5.4.3 การพิจารณาตัวคูณน้ำหนักบรรทุก.....	50
5.5 วิเคราะห์ค่าความปลอดภัยขององค์อาคาร.....	50
6. บทสรุป.....	52
หนังสืออ้างอิง.....	54

ภาคผนวก

ก.	วิธีการทดสอบโดยไม่กรอฟ-สเมอร์นอฟ.....	126
ข.	วิธีมอนติคาร์โล.....	128
ค.	ตัวอย่างการคำนวณ.....	130
	ประวัติผู้เขียน.....	144

สารบัญภาพ

หน้า

รูปที่ 2.1 การเปลี่ยนแปลงของน้ำหนักบรรทุกตามเวลา.....	59
รูปที่ 3.1 ลักษณะการกระจายของตัวแปรสุ่ม.....	60
รูปที่ 3.2 ฟังก์ชันการกระจายความน่าจะเป็นของ $f_x(x)$ และ $f_y(y)$	60
รูปที่ 3.3 ผลของตัวแปรระหว่าง $f_x(x)$ และ $f_y(y)$ ต่อ p_F	61
รูปที่ 3.4 ผลของ การกระจายของ $f_x(x)$ และ $f_y(y)$ ต่อ p_F	61
รูปที่ 3.5 ขอบเขตของสภาวะปลอดภัยและสภาวะวิบัติในสภาพของตัวแปรลด...	62
รูปที่ 3.6 นิ้วมิวสิมผัสกับนิ้วมิวบิตที่จุด X^*	62
รูปที่ 3.7 ความสัมพันธ์ของ β กับนิ้วมิวบิต.....	63
รูปที่ 4.1 ความสัมพันธ์ระหว่าง \bar{D}/D_n กับ D_n ของพื้น ที่มีการควบคุม ประเภทที่ 1.....	64
รูปที่ 4.2 ความสัมพันธ์ระหว่าง \bar{D}/D_n กับ D_n ของพื้น ที่มีการควบคุม ประเภทที่ 2.....	65
รูปที่ 4.3 ความสัมพันธ์ระหว่าง \bar{D}/D_n กับ D_n ของคน ที่มีการควบคุม ประเภทที่ 1.....	66
รูปที่ 4.4 ความสัมพันธ์ระหว่าง \bar{D}/D_n กับ D_n ของคน ที่มีการควบคุม ประเภทที่ 2.....	67
รูปที่ 4.5 ความสัมพันธ์ระหว่าง \bar{D}/D_n กับ D_n ของเสา ที่มีการควบคุม ประเภทที่ 1.....	68
รูปที่ 4.6 ความสัมพันธ์ระหว่าง \bar{D}/D_n กับ D_n ของเสา ที่มีการควบคุม ประเภทที่ 2.....	69
รูปที่ 4.7 ค่าเบี่ยงเบนมาตรฐานของน้ำหนักบรรทุกต่อหน่วยน้ำหนัก กับ พื้นที่ ของอาคารมหาวิทยาลัย.....	70

รูปที่ 4.8 ค่าเบี่ยงเบนมาตรฐานของน้ำหนักบรรทุกต่อหน่วยพื้นที่ กับ พื้นที่ ของอาคารสถานีชนสัง.....	71
รูปที่ 4.9 ค่าเบี่ยงเบนมาตรฐานของน้ำหนักบรรทุกต่อหน่วยพื้นที่ กับ พื้นที่ ของอาคารสำนักงาน.....	72
รูปที่ 4.10 ค่าเบี่ยงเบนมาตรฐานของน้ำหนักบรรทุกต่อหน่วยพื้นที่ กับ พื้นที่ ของอาคารที่จอดรถของห้างสรรพสินค้า.....	73
รูปที่ 4.11 ค่าเบี่ยงเบนมาตรฐานของน้ำหนักบรรทุกต่อหน่วยพื้นที่ กับ พื้นที่ ของอาคารมหาวิทยาลัยฝ่ายวิทย์.....	74
รูปที่ 4.12 ค่าเบี่ยงเบนมาตรฐานของน้ำหนักบรรทุกต่อหน่วยพื้นที่ กับ พื้นที่ ของอาคารมหาวิทยาลัยฝ่ายศิลป์.....	74
รูปที่ 4.13 ค่าเบี่ยงเบนมาตรฐานของน้ำหนักบรรทุกต่อหน่วยพื้นที่ กับ พื้นที่ ของอาคารสถานีชนสังที่ไม่รวมชนสังสายเหนือ.....	75
รูปที่ 4.14 ค่าเบี่ยงเบนมาตรฐานของน้ำหนักบรรทุกต่อหน่วยพื้นที่ กับ พื้นที่ ของอาคารสำนักงานฝ่ายการเงิน.....	75
รูปที่ 5.1 ความสัมพันธ์ระหว่าง \bar{D}/D_n กับ D_n ที่กระทำต่อค่าและมีการ ควบคุมประเภทที่ 1.....	76
รูปที่ 5.2 ความสัมพันธ์ระหว่าง \bar{D}/D_n กับ D_n ที่กระทำต่อค่าและมีการ ควบคุมประเภทที่ 2.....	77
รูปที่ 5.3 ความสัมพันธ์ระหว่าง \bar{D}/D_n กับ D_n ที่กระทำต่อเสาและมีการ ควบคุมประเภทที่ 1.....	78
รูปที่ 5.4 ความสัมพันธ์ระหว่าง \bar{D}/D_n กับ D_n ที่กระทำต่อเสาและมีการ ควบคุมประเภทที่ 2.....	79
รูปที่ 5.5 ความสัมพันธ์ระหว่าง COV. กับ D_n ที่กระทำต่อค่าและมีการ ควบคุมประเภทที่ 1.....	80
รูปที่ 5.6 ความสัมพันธ์ระหว่าง COV. กับ D_n ที่กระทำต่อเสาและมีการ ควบคุมประเภทที่ 2.....	81

หน้า

รูปที่ 5.7 ความสัมพันธ์ระหว่าง COV. กับ D_n ที่กระทำต่อเสาและมีการ ควบคุมประเทกที่ 1.....	82
รูปที่ 5.8 ความสัมพันธ์ระหว่าง COV. กับ D_n ที่กระทำต่อเสาและมีการ ควบคุมประเทกที่ 2.....	83
รูปที่ 5.9 ความสัมพันธ์ระหว่างค่าตัวคูณสำหรับน้ำหนักบรรทุกกับ \bar{L}/\bar{D}	84
รูปที่ ก.1 ความถี่สั่งสมของรูปแบบการกระจายที่สมมติ $F(x)$ และ ความถี่ สั่งสมของรูปแบบการกระจายของข้อมูล $S_n(x)$	126
รูปที่ ช.1 การกระจายความน่าจะเป็นของ u	128
รูปที่ ช.2 การกระจายความน่าจะเป็นสั่งสมของ u	128
รูปที่ ช.3 ความสัมพันธ์ของ $F_u(u)$ กับ $F_x(x)$	129

สารบัญตาราง

หน้า

ตารางที่ 4.1 ข้อมูลของน้ำหนักบรรทุกต่อหน่วยพื้นที่กับขนาดของพื้นที่ของ อาคารสำนักงาน.....	87
ตารางที่ 4.2 แสดงข้อมูลของน้ำหนักบรรทุกต่อหน่วยพื้นที่กับขนาดของพื้นที่ของ อาคารสำนักงานประเภทการเงิน.....	88
ตารางที่ 4.3 ข้อมูลของน้ำหนักบรรทุกต่อหน่วยพื้นที่กับขนาดของพื้นที่ของ อาคารสถานีขนส่ง.....	89
ตารางที่ 4.4 ข้อมูลของน้ำหนักบรรทุกต่อหน่วยพื้นที่กับขนาดของพื้นที่ของ อาคารสถานีขนส่งที่ไม่วางชนิดส้ายเที่ยວ.....	91
ตารางที่ 4.5 ข้อมูลของน้ำหนักบรรทุกต่อหน่วยพื้นที่กับขนาดของพื้นที่ของ อาคารมหาวิทยาลัย.....	92
ตารางที่ 4.6 ข้อมูลของน้ำหนักบรรทุกต่อหน่วยพื้นที่กับขนาดของพื้นที่ของ อาคารมหาวิทยาลัย ฝ่ายศิลป์.....	94
ตารางที่ 4.7 ข้อมูลของน้ำหนักบรรทุกต่อหน่วยพื้นที่กับขนาดของพื้นที่ของ อาคารมหาวิทยาลัย ฝ่ายวิทย์.....	95
ตารางที่ 4.8 ข้อมูลของน้ำหนักบรรทุกต่อหน่วยพื้นที่กับขนาดของพื้นที่ของ อาคารที่จอดรถของห้างสรรพสินค้า.....	96
ตารางที่ 4.9 พารามิเตอร์พื้นฐานสำหรับน้ำหนักบรรทุก叽ร.....	97
ตารางที่ 4.10 พารามิเตอร์พื้นฐานสำหรับน้ำหนักบรรทุก叽ร.....	97
ตารางที่ 5.1 ค่าเฉลี่ยและค่าเบี่ยงเบนมาตรฐานของข้อมูลน้ำหนักบรรทุก叽ร ตาราง.....	98
ตารางที่ 5.2 การกระจายของข้อมูลน้ำหนักบรรทุก叽รavar.....	98
ตารางที่ 5.3 ค่าเฉลี่ยและค่าเบี่ยงเบนมาตรฐานของน้ำหนักบรรทุก叽รavarต่อ หน่วยพื้นที่แบบสมมูลย์ (EUDL).....	99

ตารางที่ 5.4 ค่าเฉลี่ยและค่าเบี่ยงเบนมาตรฐานของน้ำหนักบรรทุกจรเพิ่มชั่วขณะ ต่อหน่วยพื้นที่แบบสมมูลย์ (EUDL)	100
ตารางที่ 5.5 น้ำหนักบรรทุกจราจรสและเพิ่มชั่วขณะที่มีค่ามากที่สุด.....	100
ตารางที่ 5.6 ค่าเฉลี่ยและค่าเบี่ยงเบนมาตรฐานของผลรวมน้ำหนักบรรทุกจรา ในแต่ละกรณี.....	101
ตารางที่ 5.6ก เปรียบเทียบค่าน้ำหนักบรรทุกจราจากการวิจัยกับเอกสารอ้างอิง..	101
ตารางที่ 5.7 ค่าน้ำหนักบรรทุกรวมมากที่สุดที่คำนวณได้จากการที่ (2.20) และ ค่าต่ำสุดที่ยอมให้ใช้ในการออกแบบ.....	102
ตารางที่ 5.8 ลักษณะการกระจายของข้อมูลน้ำหนักบรรทุกจรมากที่สุด.....	102
ตารางที่ 5.9 ค่าน้ำหนักบรรทุกรวมมากที่สุดที่คำนวณได้จากการที่ (2.13) และ (2.15).....	103
ตารางที่ 5.10 ค่าความหนาแน่นของคอนกรีต (กก./ม. ³).....	104
ตารางที่ 5.11 ค่าความหนาของพื้นตามลักษณะการควบคุมประทეที่ 1.....	104
ตารางที่ 5.12 ค่าความหนาของพื้นตามลักษณะการควบคุมประทეที่ 2.....	104
ตารางที่ 5.13 ค่าความกว้าง (X) และความลึก (Y) ของคานตาม ลักษณะการควบคุมประทეที่ 1.....	105
ตารางที่ 5.14 ค่าความกว้าง (X) และความลึก (Y) ของคานตาม ลักษณะการควบคุมประทეที่ 2.....	105
ตารางที่ 5.15 ค่าความกว้าง (X) และความลึก (Y) ของเสาคานตาม ลักษณะการควบคุมประทეที่ 1.....	106
ตารางที่ 5.16 ค่าความกว้าง (X) และความลึก (Y) ของเสาคานตาม ลักษณะการควบคุมประทეที่ 2.....	106
ตารางที่ 5.17 ค่าเฉลี่ยและค่าเบี่ยงเบนมาตรฐานของน้ำหนักบรรทุกคงที่ (พื้น) ในสภาวะที่มีการควบคุมประทეที่ 1.....	107
ตารางที่ 5.18 ค่าเฉลี่ยและค่าเบี่ยงเบนมาตรฐานของน้ำหนักบรรทุกคงที่ (พื้น) ในสภาวะที่มีการควบคุมประทეที่ 2.....	108

ตารางที่ 5.19 ค่าเฉลี่ยและค่าเบี่ยงเบนมาตรฐานของน้ำหนักบรรทุกคงที่ (คาน) ในสภาวะที่มีการควบคุมประเทกที่ 1.....	109
ตารางที่ 5.20 ค่าเฉลี่ยและค่าเบี่ยงเบนมาตรฐานของน้ำหนักบรรทุกคงที่ (คาน) ในสภาวะที่มีการควบคุมประเทกที่ 2.....	110
ตารางที่ 5.21 ค่าเฉลี่ยและค่าเบี่ยงเบนมาตรฐานของน้ำหนักบรรทุกคงที่ (เสา) ในสภาวะที่มีการควบคุมประเทกที่ 1.....	111
ตารางที่ 5.22 ค่าเฉลี่ยและค่าเบี่ยงเบนมาตรฐานของน้ำหนักบรรทุกคงที่ (เสา) ในสภาวะที่มีการควบคุมประเทกที่ 2.....	112
ตารางที่ 5.23 ค่าน้ำหนักบรรทุกคงที่ของผังก่ออิฐ.....	113
ตารางที่ 5.24 ค่าค่าเฉลี่ยและค่าเบี่ยงเบนมาตรฐานของน้ำหนักบรรทุกคงที่ ที่กระทำต่อคานในสภาวะที่มีการควบคุมประเทกที่ 1.....	114
ตารางที่ 5.25 ค่าเฉลี่ยและค่าเบี่ยงเบนมาตรฐานของน้ำหนักบรรทุกคงที่ที่ กระทำต่อคานในสภาวะที่มีการควบคุมประเทกที่ 2.....	115
ตารางที่ 5.26 ค่าเฉลี่ยและค่าเบี่ยงเบนมาตรฐานของน้ำหนักบรรทุกคงที่ที่ กระทำต่อเสาในสภาวะที่มีการควบคุมประเทกที่ 1.....	116
ตารางที่ 5.27 ค่าเฉลี่ยและค่าเบี่ยงเบนมาตรฐานของน้ำหนักบรรทุกคงที่ที่ กระทำต่อเสาในสภาวะที่มีการควบคุมประเทกที่ 2.....	117
ตารางที่ 5.28 สรุปค่าต่าง ๆ ของน้ำหนักบรรทุกจร.....	118
ตารางที่ 5.29 สรุปค่า D/D _n และค่าความไม่แน่นอนของน้ำหนักบรรทุกคงที่....	118
ตารางที่ 5.30 สรุปค่าต่าง ๆ ของกำลัง (R) ที่นำมาใช้ในการวิเคราะห์หาค่าbeta..	119
ตารางที่ 5.31 สรุปค่าความไม่แน่นอน (η_R) และค่าตัวคูณสำหรับกำลัง (θ)..	120
ตารางที่ 5.32 ค่าตัวคูณสำหรับน้ำหนักบรรทุกเทียบจากค่าเฉลี่ยที่คำนวณได้โดยใช้วิธี โนเมนต์ที่ 2 และวิธีการประมาณอันดับที่ 1.....	121
ตารางที่ 5.33 ค่าตัวคูณสำหรับน้ำหนักบรรทุกเทียบจากค่าที่ใช้ออกแบบคำนวณได้ โดยใช้วิธีโนเมนต์ที่ 2 และวิธีการประมาณอันดับที่ 1.....	122

หน้า

ตารางที่ 5.34 ความสัมพันธ์ระหว่าง γ_D กับ γ_L โดยอิงค่าความปลอดภัย มาตรฐานสากล.....	123
ตารางที่ 5.35 ค่าความปลอดภัยที่คำนวณได้จากการฐานของ วสท. ACI และ จากการวิจัย.....	124

สัญลักษณ์

A_i	=	พื้นที่ประลักษณ์ (Influence area)
$\text{Cov}(x, y)$	=	ค่าความแปรปรวนร่วมของตัวแปรสุ่ม X และ Y
COV.	=	ค่าสัมประสิทธิ์ความแปรปรวน
$E(X)$	=	ค่าเฉลี่ยหรือค่าคาดหวังตัวแปรสุ่ม X
$E(\tau)$	=	ระยะเวลาเฉลี่ยของการเกิดนาฬิกบรรทุกจราจร
$F_e(x)$	=	ฟังก์ชันการกระจายสะสมของน้ำหนักบรรทุกจราจรเพิ่มขึ้นขณะ
$F_L(x)$	=	ฟังก์ชันการกระจายสะสมของน้ำหนักบรรทุกจราจร
$F_{Le}(x)$	=	ฟังก์ชันการกระจายสะสมของน้ำหนักบรรทุกจราจรเพิ่มขึ้นขณะที่มากที่สุด
$F_{Ls}(x)$	=	ฟังก์ชันการกระจายสะสมของน้ำหนักบรรทุกจราจรที่มากที่สุด
$F_x(x)$	=	ฟังก์ชันการกระจายสะสมของ X
$f_x(x)$	=	ฟังก์ชันการกระจายความน่าจะเป็นของ X
$I(x, y)$	=	ฟังก์ชันประลักษณ์ (Influence function)
K	=	Load Effect Influence Statistics
L	=	น้ำหนักบรรทุกจราจร
L_s	=	น้ำหนักบรรทุกจราจรที่มีค่ามากที่สุดตลอดอายุการใช้งาน
L_e	=	น้ำหนักบรรทุกจราจรเพิ่มขึ้นขณะที่มีค่ามากที่สุดตลอดอายุการใช้งาน
L_{et}	=	น้ำหนักบรรทุกจราจรเพิ่มขึ้นขณะเวลาที่น้ำหนักบรรทุกจราจรมีค่ามากที่สุด
L_t	=	น้ำหนักบรรทุกจราจรที่มีค่ามากที่สุด
m	=	ค่าเฉลี่ยของน้ำหนักบรรทุกจราจร
m_e	=	ค่าเฉลี่ยของน้ำหนักบรรทุกจราจรเพิ่มขึ้นขณะ
m_w	=	ค่าเฉลี่ยของน้ำหนักบรรทุกจราจรเนื่องจากคน 1 คน
m_R	=	ค่าเฉลี่ยของจำนวนคนใน 1 หน่วยย่อย
N	=	ค่าเฉลี่ยจำนวนครั้งที่เกิดน้ำหนักบรรทุกจราจรที่ผิวน้ำ
$P(X < x)$	=	ความน่าจะเป็นที่ X จะมีค่าน้อยกว่าหรือเท่ากับ x
p_F	=	ความน่าจะเป็นที่จะเกิดการวินาศัย

T	=	อายุการใช้งานของอาคาร
$w(x,y)$	=	ความหนาแน่นของน้ำหนักบรรทุก
γ_{bd}	=	ค่าเบี่ยงเบนเนื่องจากอาคารที่ต่างกัน
γ_{fir}	=	ค่าเบี่ยงเบนเนื่องจากอาคารเดียวกันแต่คุณลักษณะ
σ_x^2	=	ค่าความแปรปรวนของ X
v_L	=	อัตราการเปลี่ยนแปลงอย่างมากของน้ำหนักบรรทุกจากร้าวร
v_e	=	อัตราการเปลี่ยนแปลงของน้ำหนักบรรทุกจริงซึ่งมีผล
λ	=	ค่าเฉลี่ยของจำนวนห่วงย้อยให้เก็บที่พืชราษฎร
δ	=	ค่าสัมประสิทธิ์ของความแปรปรวน
ρ	=	ค่าสัมประสิทธิ์สัมพันธ์ร่วม
α	=	โครงการแสดงทิศทาง
β	=	ค่าความปลอดภัย
$\Phi(-)$	=	ฟังก์ชันความน่าจะเป็นสะสมของการกระจายแบบปกติมาตรฐาน
$\phi(-)$	=	ฟังก์ชันการกระจายความน่าจะเป็นแบบปกติมาตรฐาน
μ^N	=	ค่าเฉลี่ยของการกระจายแบบสมมูลย์ปกติ
σ^N	=	ค่าเบี่ยงเบนมาตรฐานของการกระจายแบบสมมูลย์ปกติ
γ	=	ค่าตัวคูณสำหรับน้ำหนักบรรทุก
v	=	ค่าเฉลี่ยของค่าปรับแก้
Δ	=	ค่าสัมประสิทธิ์ความแปรปรวนของค่าปรับแก้
Ω	=	ค่าความไม่แน่นอนรวม